

TPS56320x 采用 SOT563 封装的 4.2V 至 17V 输入电压、3A 同步降压转换器

1 特性

- 广泛地为各种应用配置
 - 输入电压范围：4.2V 至 17V
 - 输出电压范围：0.6V 至 7V
 - 基准电压：0.6V
 - 25°C 时基准电压精度为 $\pm 1.5\%$
 - 在 -40°C 至 125°C 温度范围内基准电压精度为 $\pm 2\%$
 - 集成 100m Ω 和 55m Ω FET
 - TPS563203 具有低静态电流：110 μ A
 - 开关频率：600kHz
 - 以最大 95% 的高占空比运行
 - 固定软启动时间：1.4ms
- 易于使用且设计小巧
 - TPS563203 在轻负载时采用 Eco-mode
 - TPS563206 在轻负载下采用 FCCM 模式
 - D-CAP3™ 控制模式，可提供快速瞬态响应
 - 支持带预偏置输出的启动
 - 非锁存 OT 和 UVLO 保护
 - 逐周期过流限制
 - UV 保护的断续模式
 - 工作结温范围为 -40°C 至 125°C
 - SOT563 封装，1.6mm * 1.6mm
- 利用 TPS563203 并借助 [WEBENCH® Power Designer](#) 创建定制设计方案
- 利用 TPS563206 并借助 [WEBENCH® Power Designer](#) 创建定制设计方案

2 应用

- 电视
- 数字机顶盒 (STB)
- 楼宇自动化
- 宽带固定线路接入

3 说明

TPS563203、TPS563206 是采用 SOT563 封装的简单易用型 3A 同步降压转换器。

这些器件的设计初衷是使用尽可能少的外部元件即可运行，而且可以实现低待机电流。

该开关模式电源 (SMPS) 器件采用 D-CAP3 控制模式，能够提供快速瞬态响应，并且在无需外部补偿器件的情况下支持专用聚合物等低等效串联电阻 (ESR) 输出电容以及超低 ESR 陶瓷电容器。

TPS563203 采用 Eco-mode 运行，可在轻负载运行期间保持高效率。TPS563206 在 FCCM 模式下运行，可在所有负载条件下保持相同的频率和较低的输出纹波。该器件集成了全面的断续模式 OCP、UVLO、OTP 和 UVP 保护。TPS56320x 采用 6 引脚 1.6mm × 1.6mm SOT563 (DRL) 封装，额定结温范围为 -40°C 至 125°C。

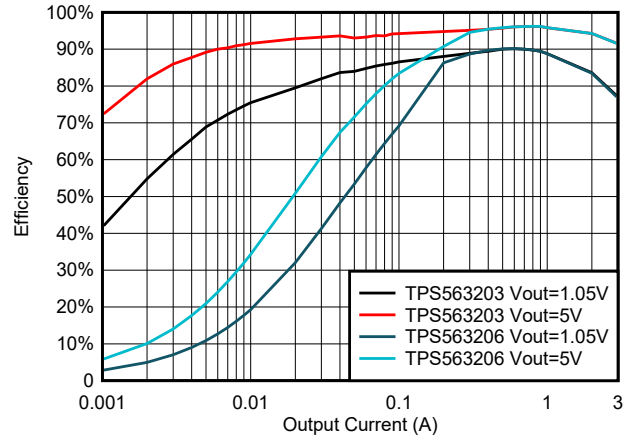
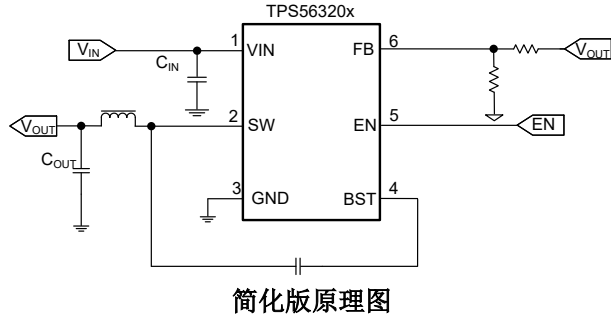
器件信息

器件型号	模式	封装 ⁽¹⁾	封装尺寸 ⁽²⁾
TPS563203	环保	DRL (SOT563 , 6)	1.60mm x 1.60mm
TPS563206	FCCM		

(1) 有关更多信息，请参阅节 10。

(2) 封装尺寸 (长 × 宽) 为标称值，并包括引脚 (如适用)。





TPS563203 和 TPS563206 效率

内容

1 特性	1	6.4 器件功能模式	14
2 应用	1	7 应用和实施	15
3 说明	1	7.1 应用信息.....	15
4 引脚配置和功能	4	7.2 典型应用.....	15
5 规格	5	7.3 电源相关建议.....	20
5.1 绝对最大额定值.....	5	7.4 布局.....	20
5.2 ESD 等级.....	5	8 器件和文档支持	22
5.3 建议运行条件.....	5	8.1 器件支持.....	22
5.4 热性能信息.....	6	8.2 接收文档更新通知.....	22
5.5 电气特性.....	6	8.3 支持资源.....	22
5.6 典型特性.....	8	8.4 商标.....	22
6 详细说明	12	8.5 静电放电警告.....	22
6.1 概述.....	12	8.6 术语表.....	22
6.2 功能方框图.....	12	9 修订历史记录	23
6.3 特性说明.....	12	10 机械、封装和可订购信息	23

4 引脚配置和功能

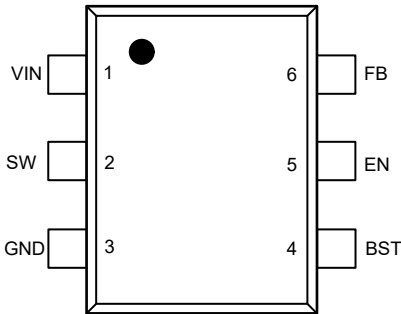


图 4-1. 6 引脚 SOT563 DRL 封装 (俯视图)

表 4-1. 引脚功能

引脚		类型	说明
名称	编号		
VIN	1	I	输入电压电源引脚
SW	2	O	高侧 NFET 和低侧 NFET 之间的开关节点连接。
GND	3	—	低侧功率 NFET 的接地引脚源极端子以及控制器电路的接地端子。将敏感 FB 单点连接至此 GND。
BST	4	O	高侧 NFET 栅极驱动电路的电源输入。在 BST 和 SW 引脚间连接 0.1 μ F 电容器。
EN	5	I	启用输入控制。高电平有效，必须上拉以启用器件。
FB	6	I	转换器反馈输入。通过反馈电阻分压器连接到输出电压。

5 规格

5.1 绝对最大额定值

在自然通风条件下的工作温度范围内测得 (除非另有说明) ⁽¹⁾

		最小值	最大值	单位
输入电压	VIN	- 0.3	18	V
输入电压	FB、EN	- 0.3	6	V
输入电压	GND	- 0.3	0.3	V
输出电压	BST	- 0.3	25	V
输出电压	BST (< 20ns)	- 0.3	27	V
输出电压	SW	-2	18	V
输出电压	SW (< 20ns)	-6.5	20	V
工作结温范围, T _J		-40	150	°C
贮存温度, T _{stg}	贮存温度, T _{stg}	-55	150	°C

(1) 超出绝对最大额定值运行可能会对器件造成损坏。绝对最大额定值并不表示器件在这些条件下或在建议运行条件以外的任何其他条件下能够正常运行。如果超出建议运行条件但在绝对最大额定值范围内使用, 器件可能不会完全正常运行, 这可能影响器件的可靠性、功能和性能并缩短器件寿命。

5.2 ESD 等级

			值	单位
V _(ESD)	静电放电	人体放电模型 (HBM), 符合 ANSI/ESDA/JEDEC JS-001 标准 ⁽¹⁾	±2000	V
		充电器件模型 (CDM), 符合 ANSI/ESDA/JEDEC JS-002 标准 ⁽²⁾	±500	

(1) JEDEC 文档 JEP155 规定: 500V HBM 可实现在标准 ESD 控制流程下安全生产。
 (2) JEDEC 文档 JEP157 规定: 250V CDM 可实现在标准 ESD 控制流程下安全生产。

5.3 建议运行条件

在自然通风条件下的工作温度范围内测得 (除非另有说明)

		最小值	标称值	最大值	单位
输入电压	VIN	4.2		17	V
输入电压	FB、EN	- 0.1		5.5	V
输入电压	GND	-0.1		0.1	V
输出电压	BST	- 0.1		23	V
输出电压	BST (< 20ns)	-0.1		25	V
输出电压	SW	-1		17	V
输出电压	SW (< 20ns)	-6		19	V
输出电流	IO	0		3	A
T _J	工作结温	-40		125	°C
T _{stg}	存储温度	-40		150	°C

5.4 热性能信息

热指标 ⁽¹⁾		DRL (SOT-563)	单位
		6 引脚	
$R_{\theta JA}$	结至环境热阻	147.4	°C/W
$R_{\theta JA_effective}$	EVM 板上的结到环境热阻	73 ⁽²⁾	°C/W
$R_{\theta JC(top)}$	结至外壳 (顶部) 热阻	75.7	°C/W
$R_{\theta JB}$	结至电路板热阻	32.2	°C/W
Ψ_{JT}	结至顶部特征参数	2.1	°C/W
Ψ_{JB}	结至电路板特征参数	31.8	°C/W
$R_{\theta JC(bot)}$	结至外壳 (底部) 热阻	不适用	°C/W

(1) 有关新旧热指标的更多信息, 请参阅 [半导体和 IC 封装热指标应用报告](#)。

(2) 此 $R_{\theta JA_effective}$ 是在 TPS563203EVM 板 (2 层, 顶层和底层铜厚均为 2oz) 上测试, $V_{in} = 12V$, $V_{out} = 5V$, $I_{out} = 3A$, $T_A = 25^{\circ}C$ 。

5.5 电气特性

工作温度范围 $T_J = -40^{\circ}C - 125^{\circ}C$, $V_{in} = 12V$ (除非另有说明)

参数		测试条件	最小值	典型值	最大值	单位
输入电源电压						
V_{in}	输入电压范围		4.2		17	V
I_{Vin}	V_{in} 电源电流	无负载, $V_{EN} = 5V$, 非开关, PSM 版本		110		μA
		无负载, $V_{EN} = 5V$, $V_{FB} = 0.7V$, FCCM 版本		350		μA
I_{InSdn}	V_{in} 关断电流	$V_{EN} = 0V$		7		μA
UVLO						
UVLO	V_{in} 欠压锁定	唤醒 V_{in} 电压	3.6	3.8	4	V
UVLO	V_{in} 欠压锁定	关断 V_{in} 电压	3.2	3.4	3.6	V
UVLO	V_{in} 欠压锁定	迟滞 V_{in} 电压		400		mV
反馈电压						
VFB	FB 电压	$T_J = 25^{\circ}C$, $V_{in} = 4.2 - 17V$	591	600	609	mV
VFB	FB 电压	$T_J = -40^{\circ}C$ 至 $125^{\circ}C$, $V_{in} = 4.2V - 17V$	588	600	612	mV
MOSFET						
$R_{DS(on)Hi}$	高侧 MOSFET $R_{ds(on)}$	$T_J = 25^{\circ}C$		100		$m\Omega$
$R_{DS(on)Lo}$	低侧 MOSFET $R_{ds(on)}$	$T_J = 25^{\circ}C$		55		$m\Omega$
占空比和频率控制						
F_{SW}	开关频率	$V_{VOUT} = 3.3V$		600		kHz
$T_{OFF(Min)}$	最短关断时间 ⁽¹⁾	$V_{FB} = 0.5V$		100		ns
$T_{ON(Min)}$	最短导通时间 ⁽¹⁾			55		ns
电流限制						
I_{OCL_LS}	过流阈值	谷值电流设定点	3	3.9	4.8	A
I_{NOCL}	负过流阈值	谷值电流设定点	0.7	1.3	1.9	A
逻辑阈值						
$V_{EN(On)}$	EN 阈值高电平		1.15	1.21	1.27	V
$V_{EN(Off)}$	EN 阈值低电平		0.95	1.00	1.05	V
V_{ENHys}	EN 迟滞			200		mV
输出放电和软启动						

5.5 电气特性 (续)

工作温度范围 $T_J = -40^{\circ}\text{C} - 125^{\circ}\text{C}$, $V_{\text{in}} = 12\text{V}$ (除非另有说明)

参数		测试条件	最小值	典型值	最大值	单位
IEN	EN 下拉电流	VEN = 1.5V		1		uA
t _{SS}	内部软启动时间	Vout 从 0 到目标值。		1.4		ms
输出欠压和过压保护						
V _{UVP}	UVP 跳变阈值		55	60	65	%
t _{UVPDLY}	UVP 传播抗尖峰脉冲			256		us
t _{UVPOn}	在连续断续模式下, 开关时间	硬短路, UVP 检测		1.5		ms
t _{UVPOff}	在连续断续模式下, 非开关时间	硬短路, UVP 检测		13		ms
过热保护						
T _{OTP}	OTP 跳变阈值			155		°C
T _{OTPHsy}	OTP 迟滞			20		°C

(1) 由设计指定

5.6 典型特性

$V_{IN} = 12V$ (除非另有说明)

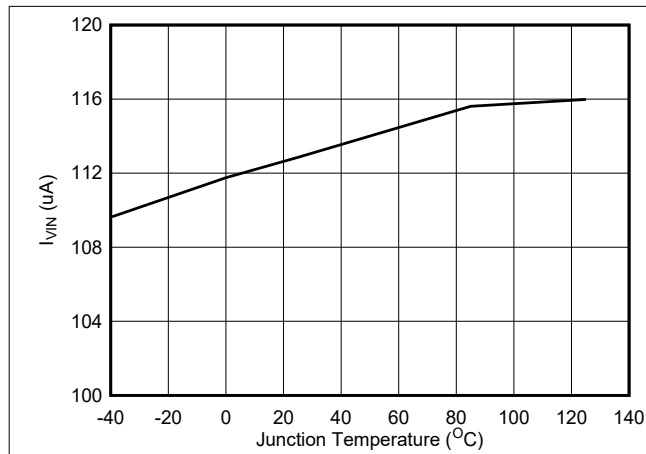


图 5-1. TPS563203 静态电流

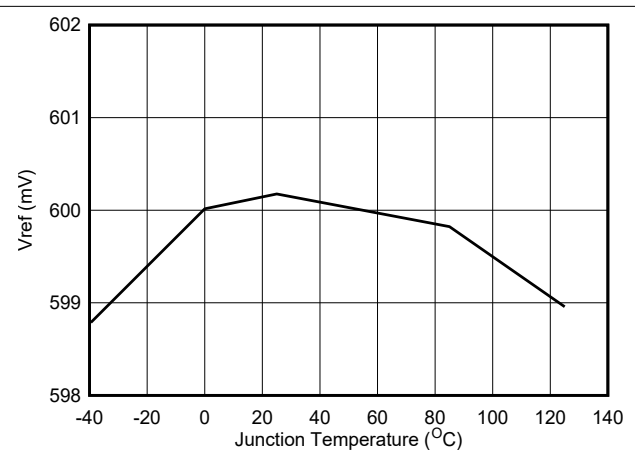


图 5-2. Vref 电压

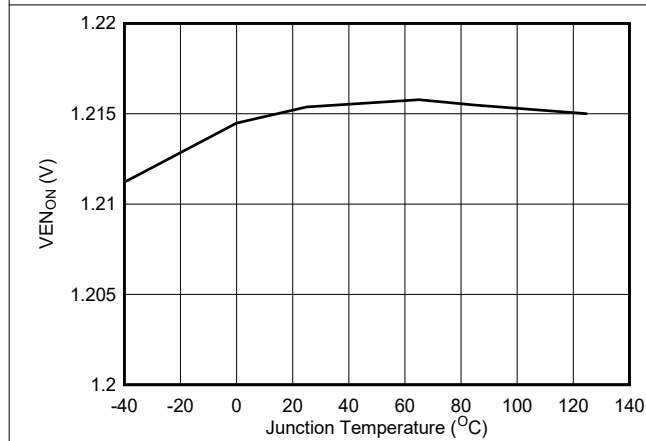


图 5-3. 使能开启阈值电压

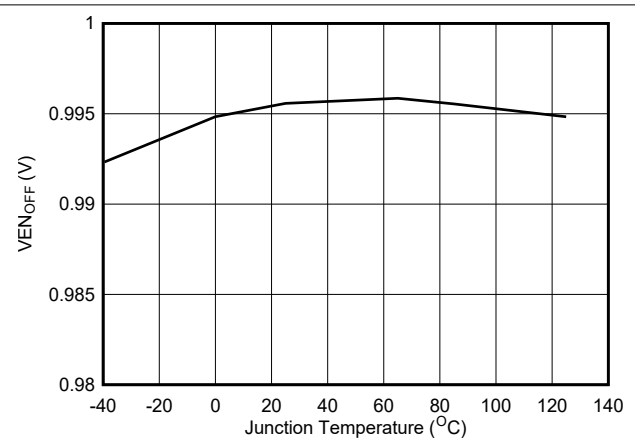


图 5-4. 使能关闭阈值电压

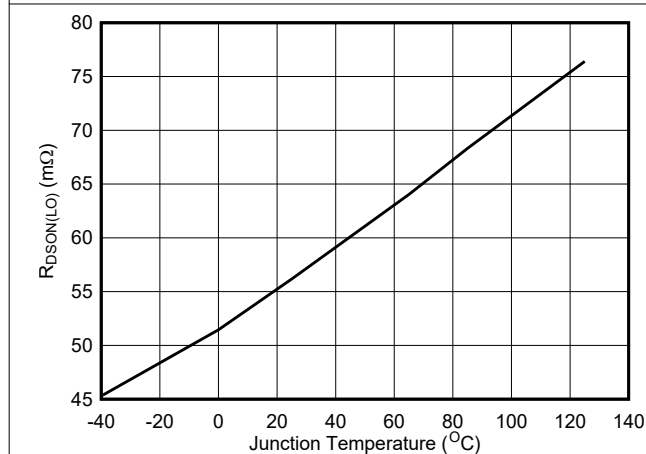


图 5-5. 低侧 Rdson

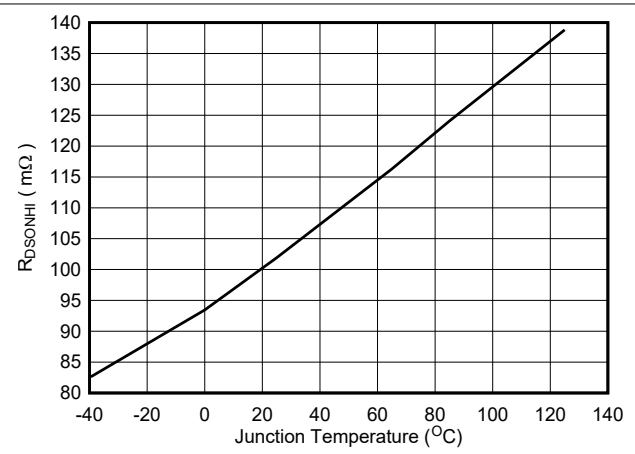


图 5-6. 高侧 Rdson

5.6 典型特性 (续)

$V_{IN} = 12V$ (除非另有说明)

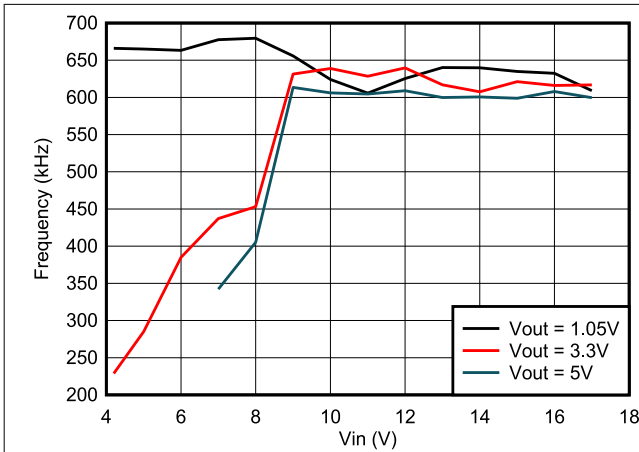


图 5-7. 3A 负载下频率与输入电压间的关系

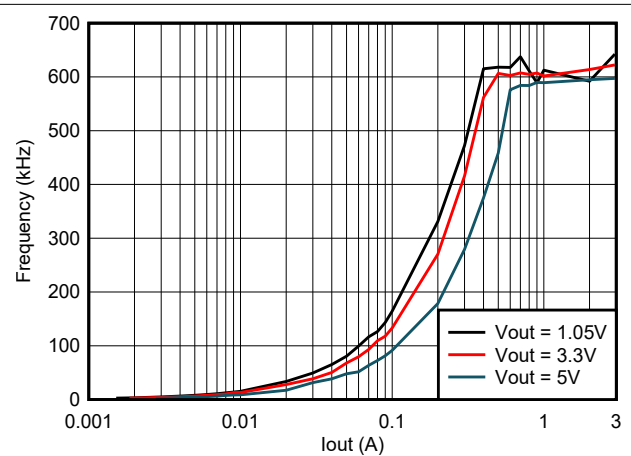


图 5-8. TPS563203 频率与负载间的关系

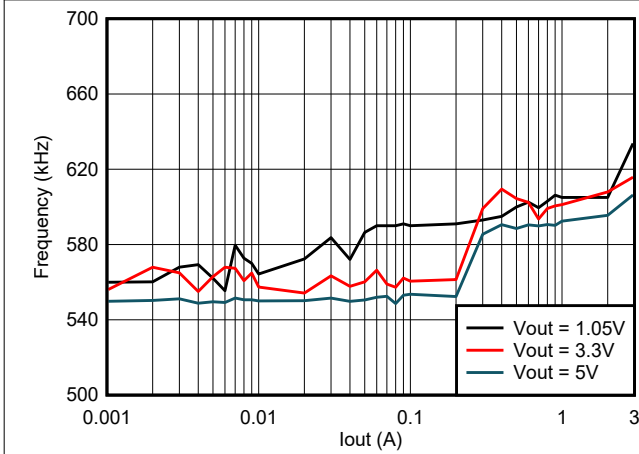


图 5-9. TPS563206 频率与负载间的关系

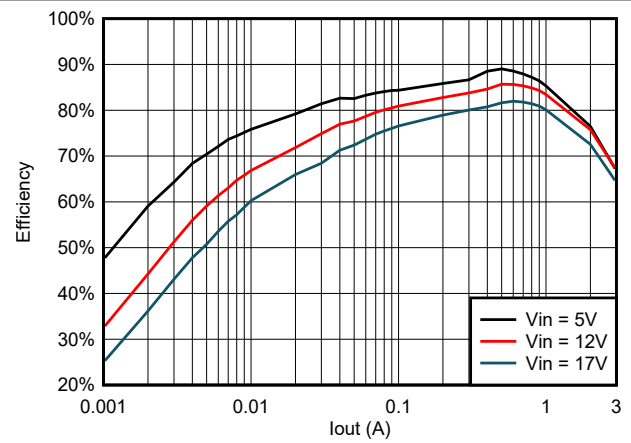


图 5-10. TPS563203 在 0.6Vout 且使用 1.5uH 电感器时的效率

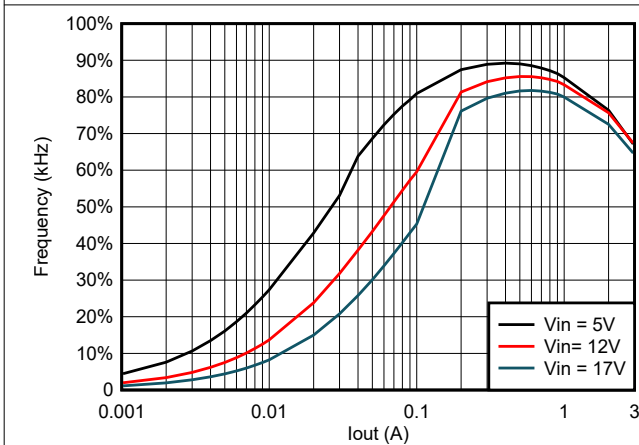


图 5-11. TPS563206 在 0.6Vout 且使用 1.5uH 电感器时的效率

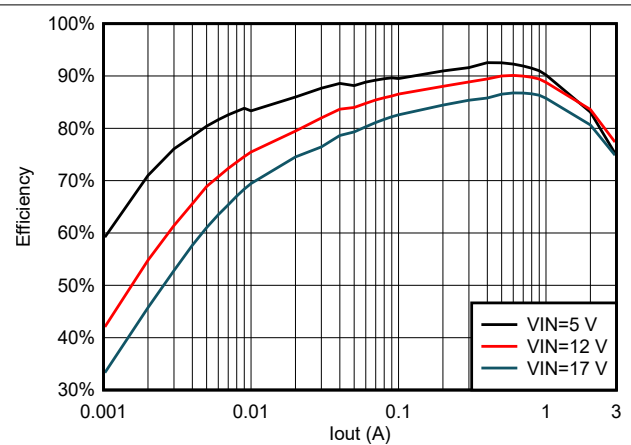


图 5-12. TPS563203 在 1.05Vout 且使用 2.2uH 电感器时的效率

5.6 典型特性 (续)

$V_{IN} = 12V$ (除非另有说明)

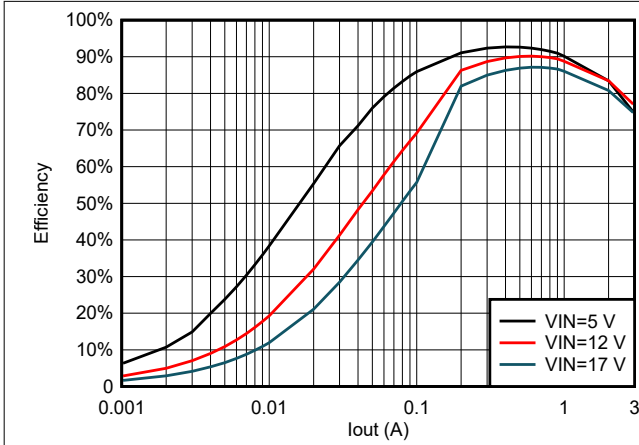


图 5-13. TPS563206 在 1.05Vout 且使用 2.2uH 电感器时的效率

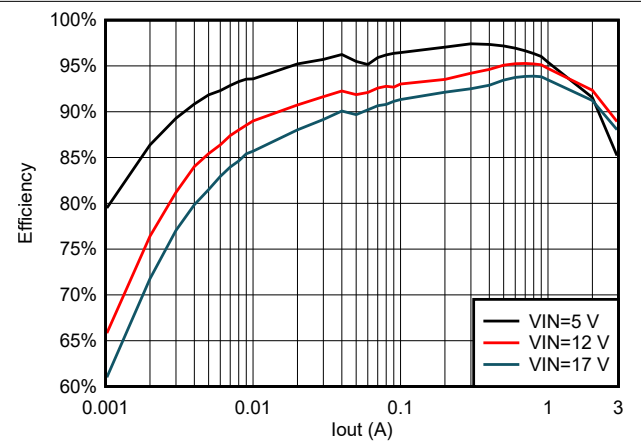


图 5-14. TPS563203 在 3.3Vout 且使用 4.7uH 电感器时的效率

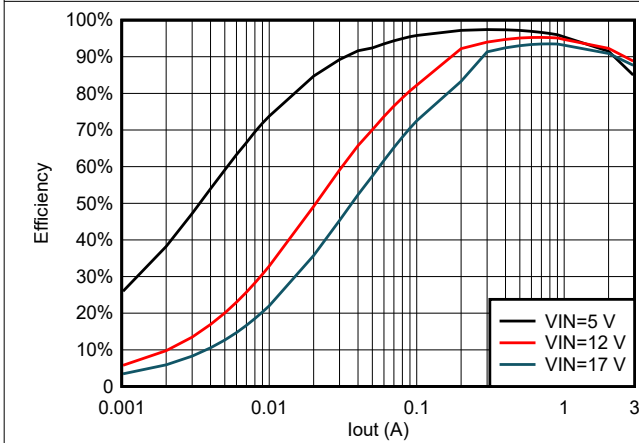


图 5-15. TPS563206 在 3.3Vout 且使用 4.7uH 电感器时的效率

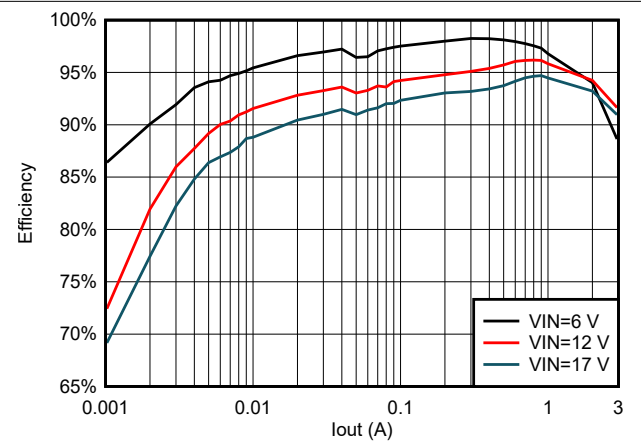


图 5-16. TPS563203 在 5Vout 且使用 4.7uH 电感器时的效率

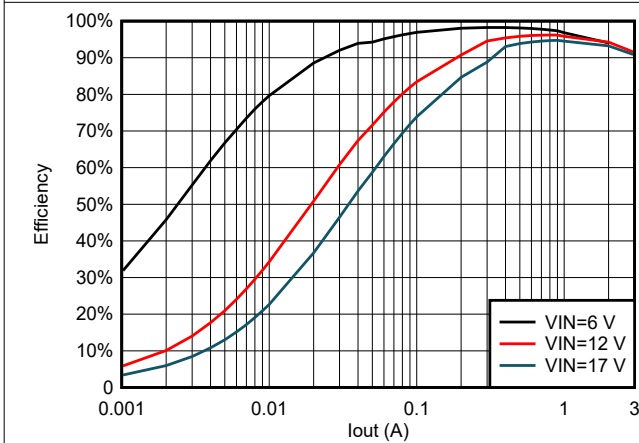


图 5-17. TPS563206 在 5Vout 且使用 4.7uH 电感器时的效率

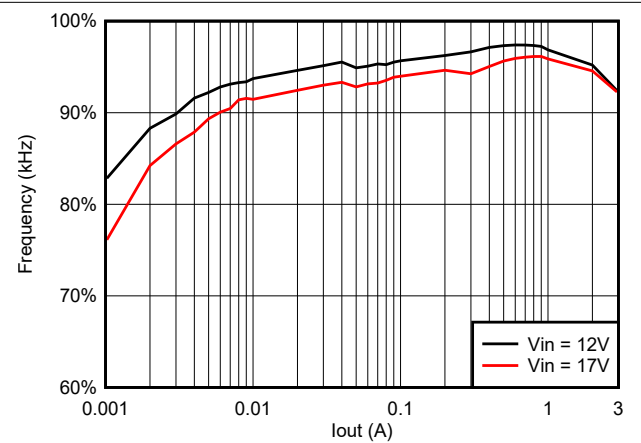
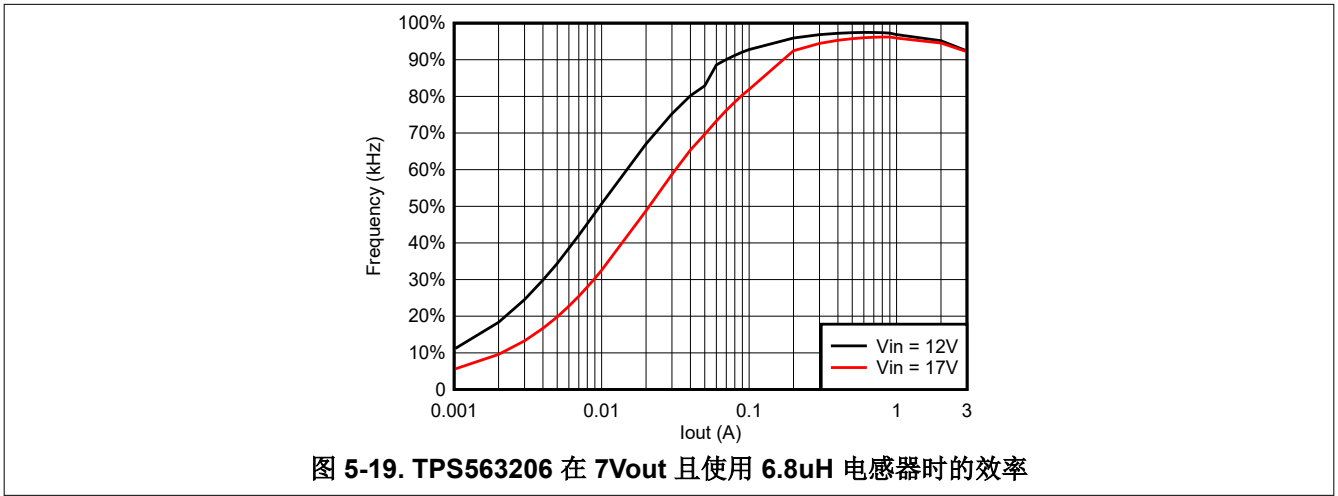


图 5-18. TPS563203 在 7Vout 且使用 6.8uH 电感器时的效率

5.6 典型特性 (续)

$V_{IN} = 12V$ (除非另有说明)



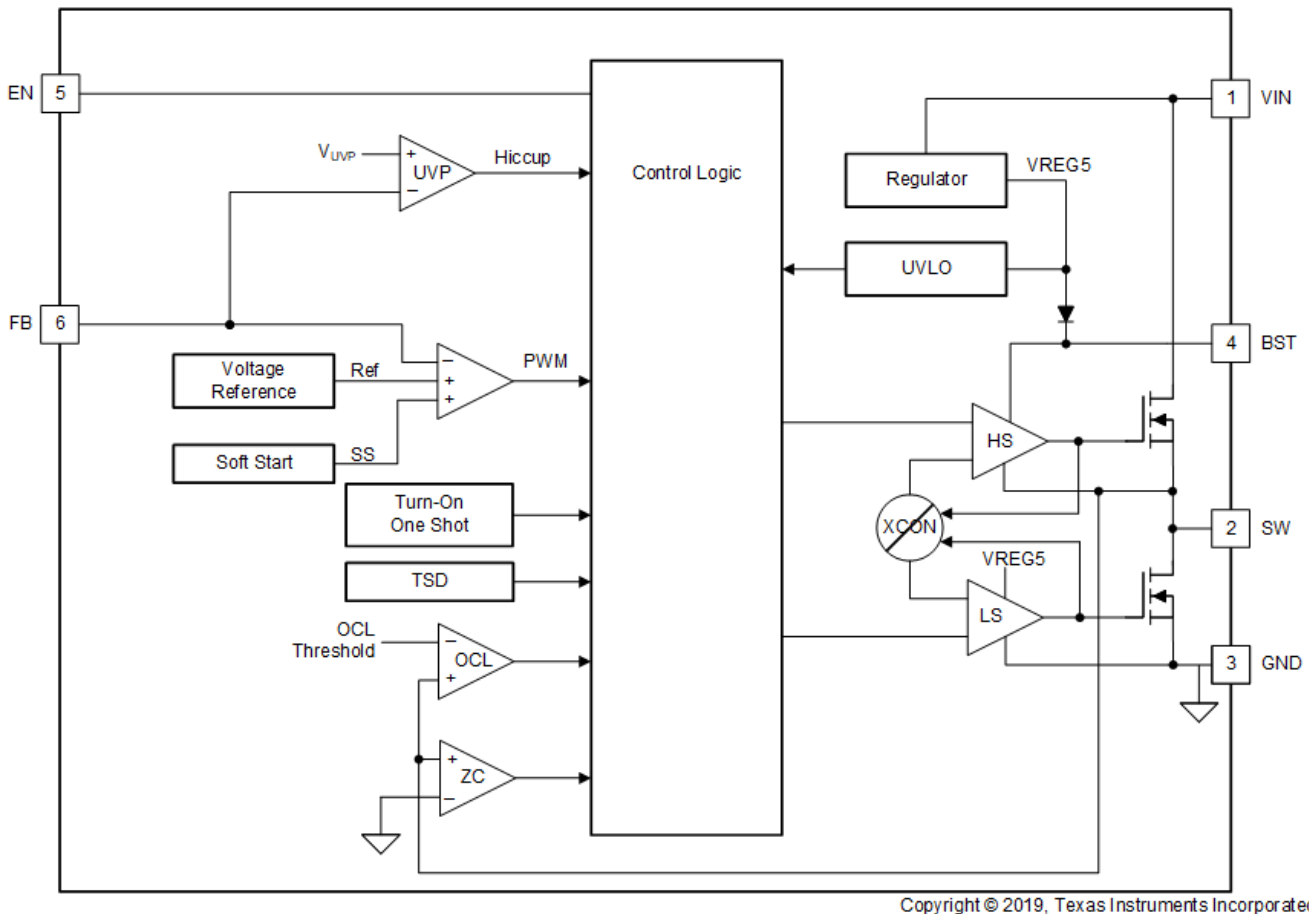
6 详细说明

6.1 概述

TPS56320x 是一款 3A 集成 FET 同步降压转换器，可在 4.2V 至 17V 输入电压 (V_{IN}) 和 0.6V 至 7V 输出电压范围内工作。该器件采用 D-CAP3 控制模式，无需外部补偿元件即可提供快速瞬态响应，并提供精确的反馈电压。专有 D-CAP3 控制模式可减少外部元件数量，简化设计，并针对成本、尺寸和效率优化电源设计。该拓扑提供在较高负载条件下的 CCM 运行模式与较轻负载条件下的 DCM 运行之间的无缝过渡。

Eco-mode 版本使 TPS563203 能够在轻负载时保持高效率。FCCM 模式版本允许 TPS563206 保持固定的开关频率和较低的输出电压纹波。TPS56320x 既能够适应低等效串联电阻 (ESR) 输出电容器 (例如 POSCAP 或 SP-CAP)，也能够适应超低 ESR 陶瓷电容器。

6.2 功能方框图



6.3 特性说明

6.3.1 自适应导通时间控制和 PWM 运行

TPS56320x 的主控制环路是自适应导通时间脉宽调制 (PWM) 控制器，支持专有 D-CAP3 控制模式。D-CAP3 控制模式将自适应导通时间控制与内部补偿电路相结合，在使用低 ESR 和陶瓷输出电容器时，实现伪固定频率和较少的外部元件数配置。即使输出端几乎没有纹波，D-CAP3 控制模式也很稳定。TPS56320x 还包含一个误差放大器，可使输出电压变得非常准确。

在每个周期的开始，高侧 MOSFET 将开启。内部一次性计时器到时后，此 MOSFET 将关闭。这个一次性计时器的持续时长是根据输出电压 V_O 按比例设置的，同时与转换器输入电压 V_{IN} 成反比，以便在输入电压的范围内保持伪固定频率，因此称为自适应导通时间控制。当反馈电压降至参考电压之下时，一次性计时器将重置，高侧

MOSFET 将再次开启。基准电压将增加内部斜坡，以刺激输出纹波，不再需要 D-CAP3 控制模式提供的 ESR 感应输出纹波。

6.3.2 Eco-mode 控制

TPS563203 利用高级 Eco 模式设计，以保持较高的轻负载效率。当输出电流从重负载状态降低时，电感器电流也会减小，最终波纹谷达到零电平，这是连续导通和不连续导通模式的边界。检测到电感器电流为零后，整流 MOSFET 会关断。随着负载电流进一步降低，转换器会进入不连续导通模式。导通时间几乎与连续导通模式时相同，并且由于负载电流相比参考电压的水平更低，输出电容器放电需要更长时间。此操作会降低开关频率，与负载电流成正比，从而保持较高的轻负载效率。使用 [方程式 1](#) 计算轻负载运行 $I_{OUT(LL)}$ 电流的过渡点。

$$I_{out(LL)} = \frac{1}{2 \times L \times f_{SW}} \times \frac{(V_{IN} - V_{OUT}) \times V_{OUT}}{V_{IN}} \quad (1)$$

6.3.3 软启动和预偏置软启动

TPS56320x 具有典型的 1.4ms 内部软启动时间。EN 引脚变为高电平时，内部软启动功能开始逐步升高 PWM 比较器的基准电压。

如果输出电容器在启动时预偏置，器件将开始切换，只有在内部基准电压大于反馈电压 V_{FB} 时才会开始逐步升高。此方案可确保转换器顺畅上升至调节点。

6.3.4 大占空比运行

TPS56320x 可通过平稳降低开关频率来支持高达 95% 的大占空比运行。当输入电压 $V_{in} < 7V$ 且 V_{FB} 低于内部基准电压时，允许开关频率平滑下降以延长 T_{ON} ，从而保持输出电压并提高负载瞬态性能。最小开关频率限制为大约 200kHz。

6.3.5 电流保护

使用逐周期谷值检测控制电路来实现输出过流限制 (OCL)。在关断状态期间会监测开关电流，方法是测量低侧 FET 漏源极电压。此电压与开关电流成正比。为了提升精确度，对电压感测进行了温度补偿。

在高侧 FET 开关的导通阶段，开关电流以线性速度增加，速度由输入电压、输出电压、导通时间和输出电感器值决定。在低侧 FET 开关的导通阶段，此电流以线性方式下降。开关电流的平均值是负载电流 I_{out} 。如果监控电流高于 OCL 水平，转换器将维持低侧 FET 的导通状态，暂缓新置位脉冲的生成（即使电压反馈环路有这方面的需要），直到电流水平达到或低于 OCL 水平。在后续的开关周期中，导通时间将设为固定值，电流也将以相同的方式监控。

对于此类过流保护，有一些重要的注意事项。负载电流高于过流阈值的部分，为峰-峰值电感器纹波电流的一半。另外，如果电流受限，输出电压往往会降低，因为要求的负载电流可能高于转换器的可用电流。此操作甚至会导致输出电压下降。当 FB 电压降至 UVP 阈值电压以下时，UVP 比较器可以检测到下降。然后，器件会在 UVP 延迟时间后关闭，并在断续时间后重新启动。

过流状况消除后，输出电压将恢复为调节值。

TPS563206 是一个 FCCM 模式器件。在此模式下，器件在轻负载时具有负电感器电流。该器件具有 NOC (负过流) 保护功能，以避免出现过大的负电流。NOC 保护功能可检测电感器电流的谷值。当电感器电流的谷值超过 NOC 阈值时，IC 关断低侧，然后导通高侧。当连续触发 8 次 NOC 保护时，IC 会同时关闭高侧 FET 和低侧 FET。当 NOC 条件消失并且输出电压恢复到目标值时，器件恢复正常开关。

因为 TPS563206 是 FCCM 模式端口，所以，如果电感太小以至于器件触发 NOC，则该操作会导致输出电压高于目标值。最小电感按 [方程式 2](#) 确定。

$$L = \frac{V_{out} \times \left(1 - \frac{V_{out}}{V_{in}}\right)}{2 \times \text{Frequency} \times \text{NOC}_{min}} \quad (2)$$

6.3.6 使能电路

EN 引脚控制器件的导通和关断。当 EN 引脚电压高于导通阈值时，器件开始开关；当 EN 引脚电压降至低于关断阈值时，器件停止开关。默认状态为低电平，因为内部 IC 中有 1 μ A 的下拉电流。

EN 可由 Vin 的典型分压电阻器电路或低于 5.5V 的电压控制。

TPS56320x 还允许 EN 仅通过上拉电阻连接到 Vin，建议使用 100k Ω 电阻器。EN 电压由齐纳二极管钳制。该齐纳二极管不得流过大电流。R1 不得小于 80k Ω 。R1 不得使用过大的电阻器，以免 EN 无法导通。R1 的范围为 80k Ω 至 3M Ω 。R1 必须使用 100k Ω 。

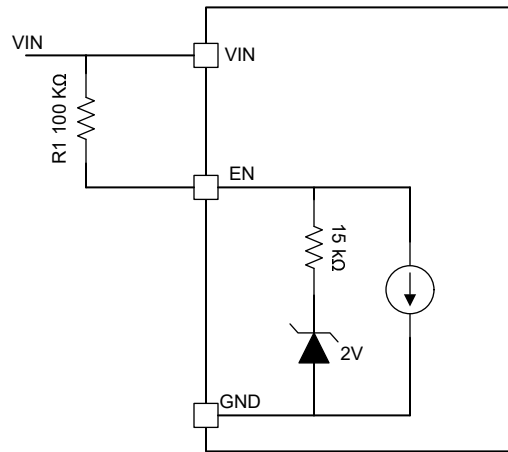


图 6-1. EN 块电路

6.3.7 欠压闭锁 (UVLO) 保护

UVLO 保护功能监测的是内部稳压器电压。如果电压低于 UVLO 阈值电压，器件会关断。这是非门闩锁保护。

6.3.8 热关断

本器件会监测其自身的温度。如果温度超出阈值（通常为 155 $^{\circ}$ C），器件会关断。此保护是非门闩锁保护。

6.4 器件功能模式

6.4.1 Eco-mode 运行

TPS563203 在 Eco-Mode 下运行，该模式可在轻负载条件下保持高效率。当输出电流从重负载状态降低时，电感器电流也会减小，最终纹波谷达到零电平，这是连续导通模式与不连续导通模式的边界。检测到电感器电流为零后，整流 MOSFET 会关断。随着负载电流进一步降低，转换器会进入不连续导通模式。导通时间几乎与连续导通模式中的导通时间相同，并且由于负载电流相比基准电压的电平更低，输出电容器放电需要更长时间。此事实会降低开关频率，与负载电流成正比，从而保持较高的轻负载效率。

6.4.2 FCCM 模式运行

TPS563206 在强制 CCM (FCCM) 模式下运行，这使转换器在轻负载条件下保持以连续电流模式运行，并允许电感器电流变为负值。在 FCCM 模式期间，开关频率 (FSW) 在整个负载范围内维持在一个几乎恒定的水平，因此适用于需要严格控制开关频率和输出电压纹波的应用，但其代价是轻负载条件下效率较低。

7 应用和实施

备注

以下应用部分中的信息不属于 TI 元件规格，TI 不担保其准确性和完整性。TI 的客户负责确定元件是否适合其用途，以及验证和测试其设计实现以确认系统功能。

7.1 应用信息

此类器件是典型的直流/直流降压转换器。此类器件通常用于将较高的直流电压转换为较低的直流电压，提供的最大输出电流为 3A。以下设计过程可用于为 TPS56320x 选择元件值。另外也可以使用 WEBENCH® 软件生成完整设计。WEBENCH 软件采用一种迭代设计过程，生成设计时可访问综合元件数据库。本部分简要讨论了设计过程。

7.2 典型应用

图 7-1 中的应用原理图是为了满足之前的要求而编制的。本电路作为评估模块 (EVM) 提供。本节介绍了设计过程。

图 7-1 所示为 TPS563203 4.2V 到 17V 输入、1.05V 输出转换器原理图。

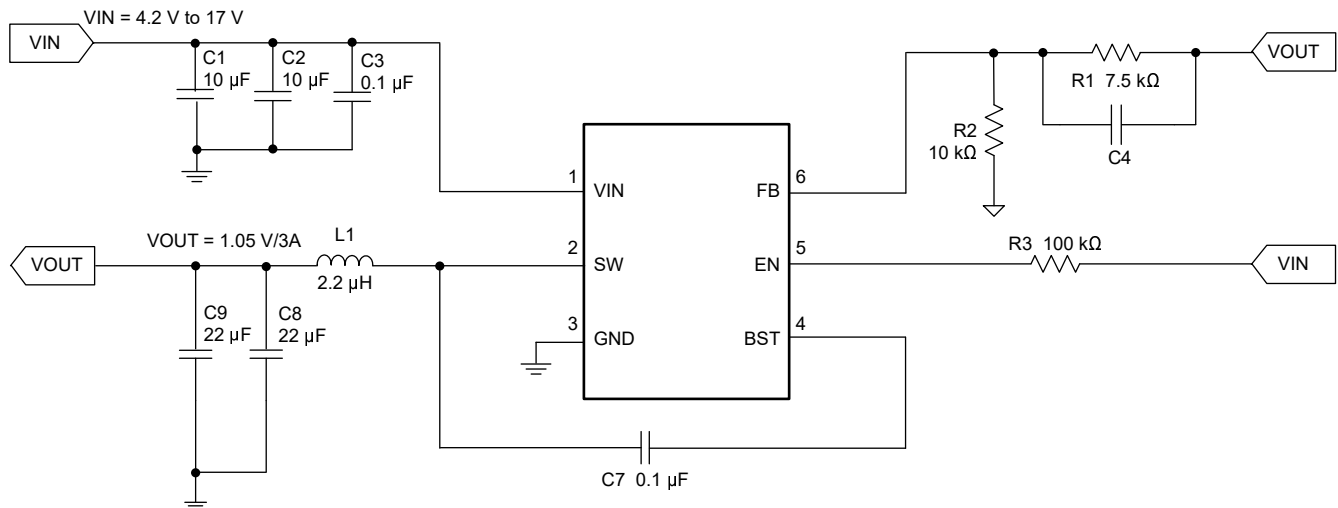


图 7-1. TPS563203 1.05V/3A 参考设计

7.2.1 设计要求

表 7-1 给出了该应用的设计参数。

表 7-1. 设计参数

参数	示例值
输入电压范围	4.2V 至 17V
输出电压	1.05V
瞬态响应, 1.5A 负载阶跃	$\Delta V_{out} = \pm 5\%$
输入纹波电压	100mV
输出纹波电压	20mV
输出电流额定值	3A
工作频率	600kHz

7.2.2 详细设计过程

7.2.2.1 使用 WEBENCH® 工具进行定制设计

[点击此处](#), 使用 TPS563203 器件并借助 WEBENCH® Power Designer 创建定制设计方案。

[点击此处](#), 使用 TPS563206 器件并借助 WEBENCH® Power Designer 创建定制设计方案。

1. 首先键入输入电压 (V_{IN})、输出电压 (V_{OUT}) 和输出电流 (I_{OUT}) 要求。
2. 使用优化器表盘优化该设计的关键参数, 如效率、占用空间和成本。
3. 将生成的设计与德州仪器 (TI) 其他可行的解决方案进行比较。

WEBENCH Power Designer 提供了定制原理图, 并罗列了实时价格和元件供货情况的物料清单。

在多数情况下, 可执行以下操作:

- 运行电气仿真, 观察重要波形以及电路性能
- 运行热性能仿真, 了解电路板热性能
- 将定制原理图和布局方案以常用 CAD 格式导出
- 打印 PDF 格式的设计报告并与同事共享

有关 WEBENCH 工具的详细信息, 请访问 www.ti.com/WEBENCH。

7.2.2.2 输出电压电阻器选型

输出电压可通过输出节点和 FB 引脚间的电阻分压器进行设置。TI 建议采用容差为 1% 或更优的分压电阻器。首先使用 [方程式 3](#) 计算 V_{OUT} 。

为了提高极轻负载时的效率, 请考虑使用具有更大阻值的电阻。电阻过高将更容易受到噪声的影响, FB 输入电流产生的电压误差也更明显。

$$V_{OUT} = 0.6 \times \left(1 + \frac{R1}{R2}\right) \quad (3)$$

7.2.2.3 输出滤波器选型

用作输出滤波器的 LC 滤波器具有双极, 如 [方程式 4](#) 所示。在此公式中, C_{OUT} 必须使用降额后的有效值, 而不是标称值。

$$Frequency_{doublepole} = \frac{1}{2 \times \pi \times \sqrt{L_{OUT} \times C_{OUT}}} \quad (4)$$

对于任何内部补偿的控制拓扑, 它可以支持一系列输出滤波器。在低频率下, 整体环路增益是由输出设定点电阻分压器网络和器件的内部增益设定的。低频相位是 180° 。在输出滤波器极点频率下, 增益以每十倍频程 -40dB 的速率滚降, 且相位下降具有 180 度下降。内部纹波生成网络引入了高频零点, 可将增益滚降从每十倍频 -40dB

降低至 -20dB，并导致 90 度相位提升。内部纹波注入高频零点大约为 41kHz。TI 建议为输出滤波器选择的电感器和电容器应使双极位于 20kHz 左右，以便由该高频零点提供的相位提升可提供足够的相位裕度来满足稳定性要求。对于高于 2V 的输出电压，TI 建议在原理图中添加 CFF (前馈电容) C4 以增加带宽和相位裕度。建议的 CFF 范围为 10pF 至 100pF。整个系统的交叉频率通常必须低于开关频率的三分之一。

表 7-2. 建议的元件值

输出电压 (V)	R1 (kΩ)	R2 (kΩ)	最小 L(uH)	典型 L (uH)	最大 L(uH)	最小 Cout(uF)	典型 Cout(uF)	最大 Cout(uF)	典型 CFF(pF)
0.8	3.33	10.0	1.2	1.5	3.3	22	66	110	-
1.05	7.5	10.0	1.2	2.2	3.3	22	44	110	-
2.5	95.0	30.0	2.2	3.3	4.7	22	44	110	10
3.3	135.0	30.0	3.3	4.7	6.8	22	44	110	18
5	220.0	30.0	3.3	4.7	6.8	22	44	110	18
7	320.0	30.0	3.3	4.7	6.8	22	44	110	18

使用 [方程式 5](#)、[方程式 6](#) 和 [方程式 7](#) 计算电感器峰峰值纹波电流、峰值电流和 RMS 电流。额定电感器饱和电流必须大于计算出的峰值电流，RMS 或额定加热电流必须大于计算出的 RMS 电流。

$$I_{P-P} = \frac{V_{OUT}}{V_{IN(Max)}} \times \frac{V_{IN(Max)} - V_{OUT}}{L_{OUT} \times f_{SW}} \quad (5)$$

$$I_{PEAK} = I_O + \frac{I_{P-P}}{2} \quad (6)$$

$$I_{LO(RMS)} = \sqrt{I_O^2 + \frac{1}{12} \times I_{P-P}^2} \quad (7)$$

对于本设计示例，计算出的峰值电流为 3.68A，计算出的 RMS 电流为 3.03A。使用的电感器是 WE 74437349022。

电容器值和 ESR 决定输出电压纹波量。TPS563203 旨在与陶瓷或其他低 ESR 电容器配合使用。TI 建议使用 2 × 22μF 输出电容。使用 [方程式 8](#) 确定输出电容器所需的额定 RMS 电流。

$$I_{CO(RMS)} = \frac{V_{OUT} \times (V_{IN} - V_{OUT})}{\sqrt{12} \times V_{IN} \times L_{OUT} \times f_{SW}} \quad (8)$$

在此设计中，使用了 2 个 22μF MuRata GRM21BR61A226ME44L 输出电容器。每个电容器的典型 ESR 为 2mΩ。计算出的 RMS 电流为 0.286A，每个输出电容器的额定电流为 4A。

7.2.2.4 输入电容器选型

TPS563203 需要一个输入去耦电容器，并且根据应用需要一个大容量电容器。TI 建议使用超过 10μF 的陶瓷电容器作为去耦电容器。从引脚 3 到地的额外 0.1μF 电容器 (C3) 是可选的，可用于提供额外的高频滤波。额定电容器电压必须大于最大输入电压。

7.2.2.5 自举电容器选型

在 BST 和 SW 引脚之间连接一个 0.1μF 陶瓷电容，用于确保正常运行。TI 建议使用陶瓷电容器。

7.2.3 应用曲线

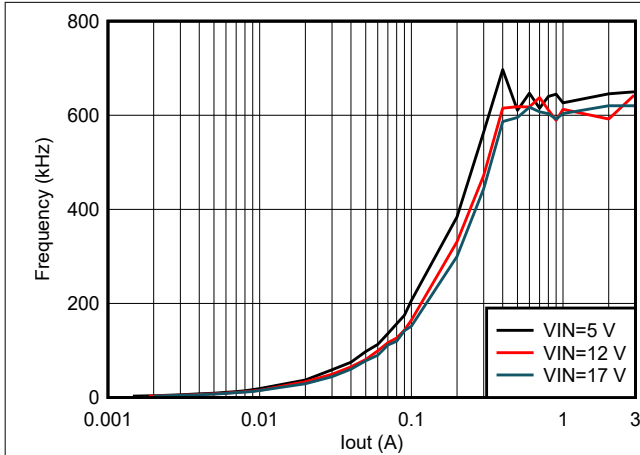


图 7-2. TPS563203 频率与负载间的关系

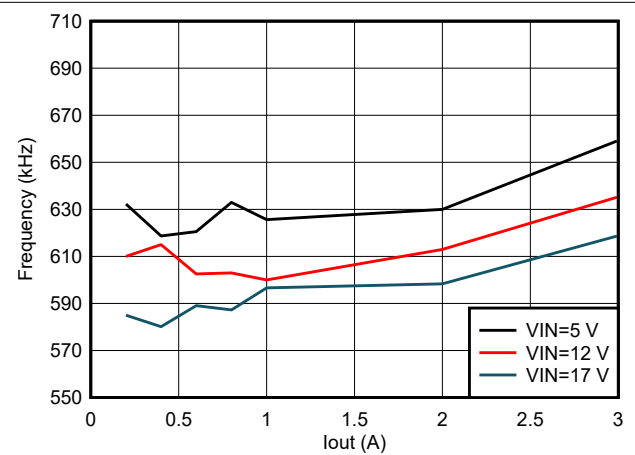


图 7-3. TPS563206 频率与负载间的关系

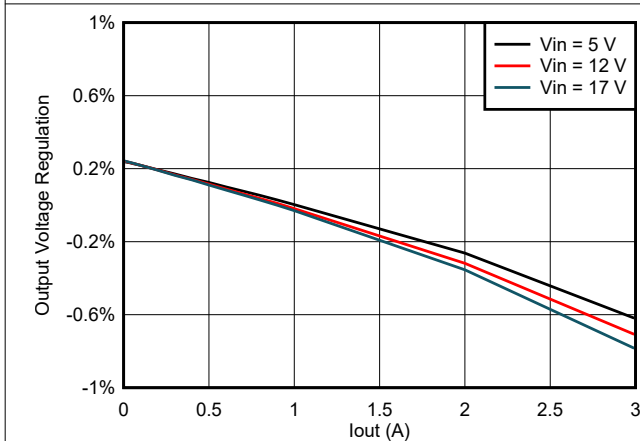


图 7-4. TPS563203 负载调整率与负载间的关系

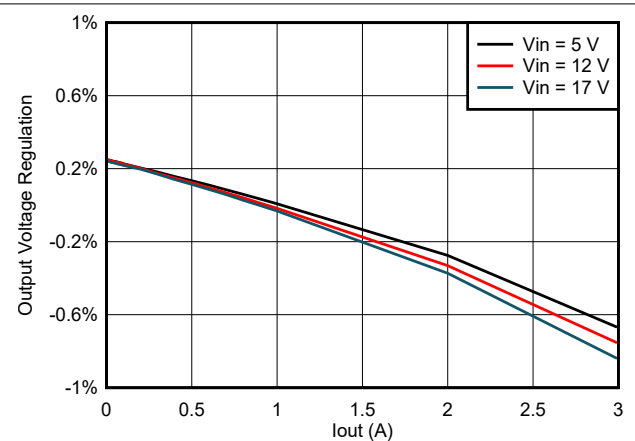


图 7-5. TPS563206 负载调整率与负载间的关系

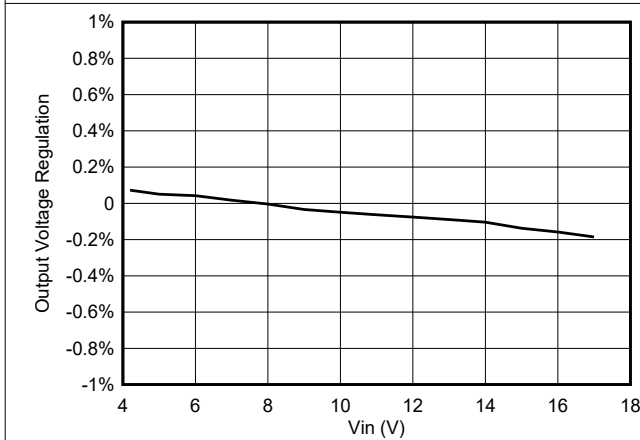


图 7-6. TPS563203 线性调整率与 Vin 间的关系 (1A 负载)

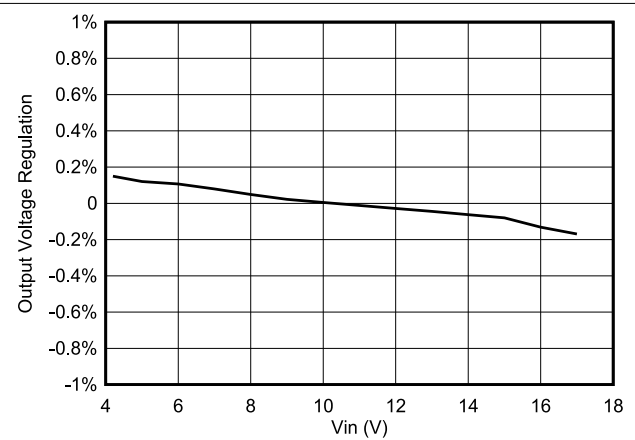


图 7-7. TPS563206 线性调整率与 Vin 间的关系 (1A 负载)

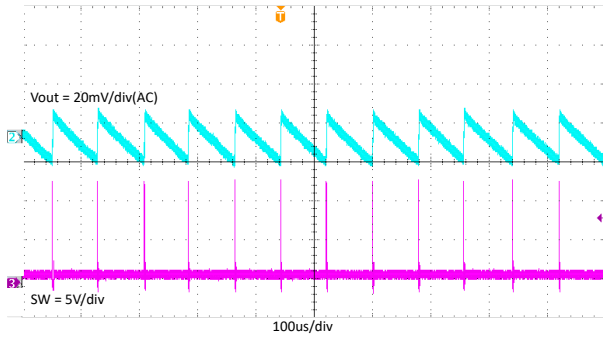


图 7-8. TPS563203 输出电压纹波 (0.1A 负载)

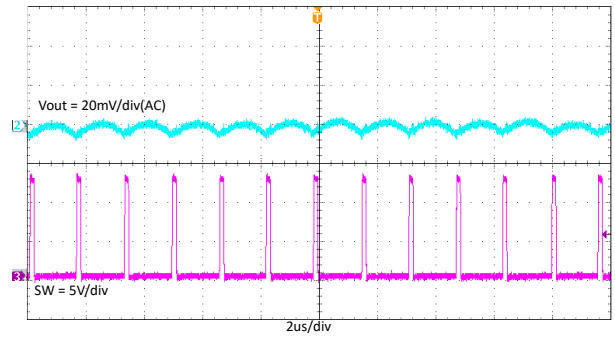


图 7-9. TPS563206 输出电压纹波 (0.1A 负载)

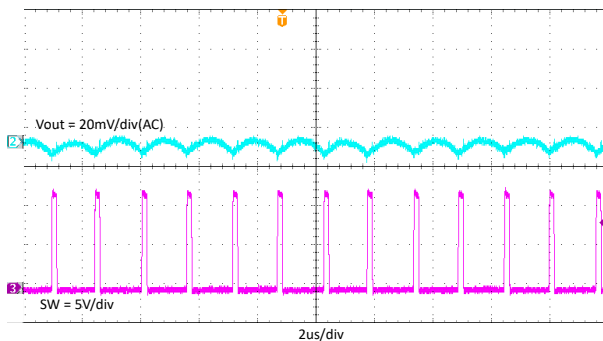


图 7-10. TPS563203 输出电压纹波 (3A 负载)

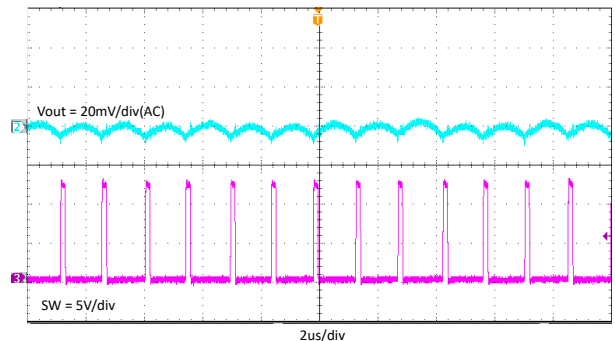


图 7-11. TPS563206 输出电压纹波 (3A 负载)

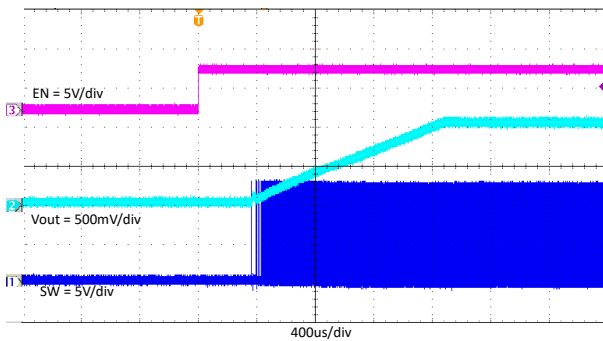


图 7-12. TPS563203 在负载电流为 3A 时使能开

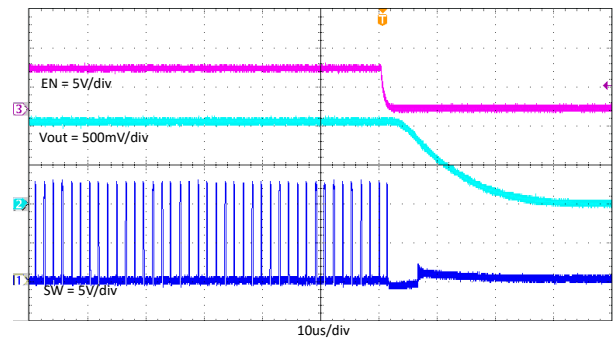


图 7-13. TPS563203 在负载电流为 3A 时使能关

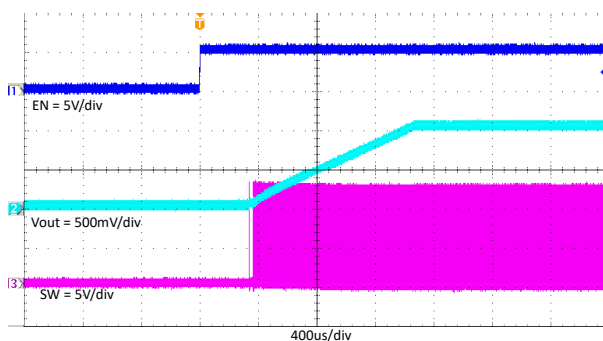


图 7-14. TPS563206 在负载电流为 3A 时使能开

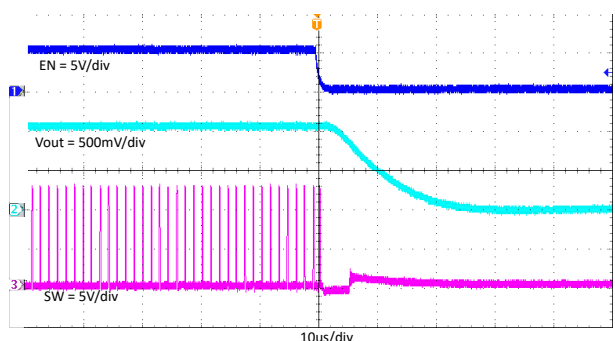


图 7-15. TPS563206 在负载电流为 3A 时使能关

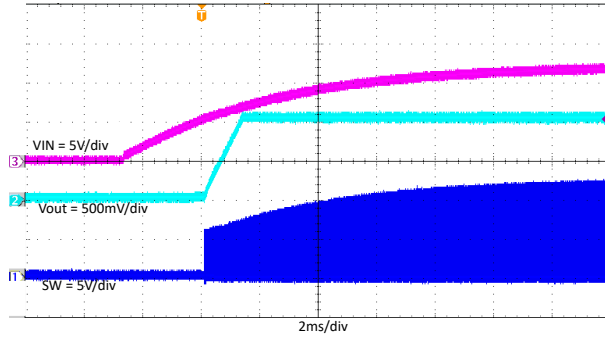


图 7-16. TPS563203 在负载电流为 3A 时上电

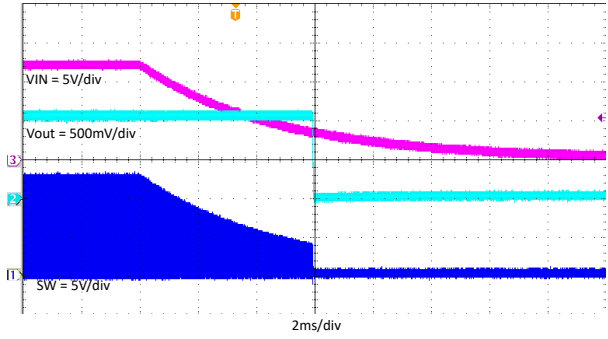


图 7-17. TPS563203 在负载电流为 3A 时断电

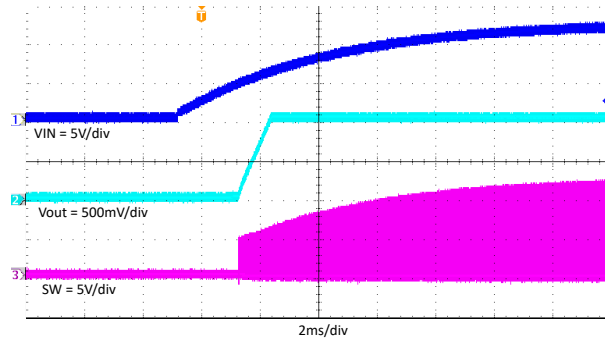


图 7-18. TPS563206 在负载电流为 3A 时上电

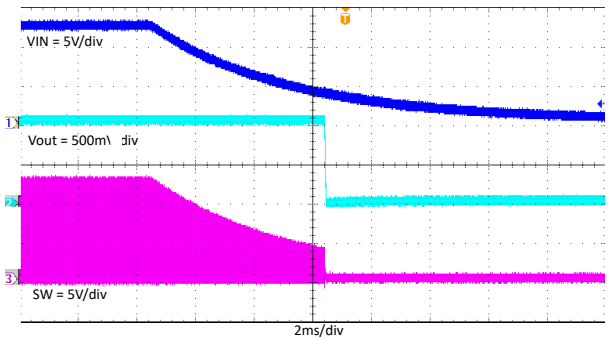


图 7-19. TPS563206 在负载电流为 3A 时断电

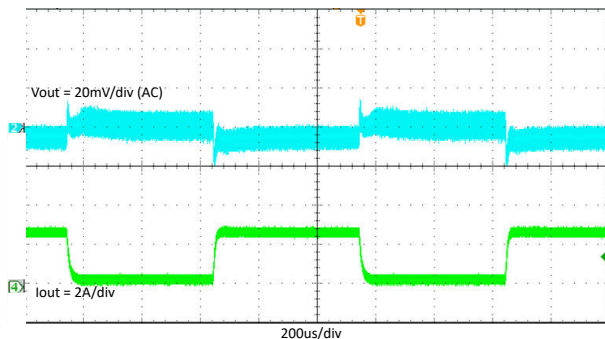


图 7-20. TPS563203 电流为 0.3A 至 2.7A 时的负载瞬态

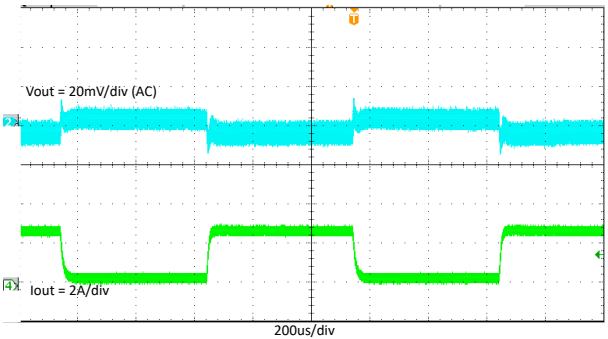


图 7-21. TPS563206 电流为 0.3A 至 2.7A 时的负载瞬态

7.3 电源相关建议

TPS56320x 设计为在 4.2V 至 17V 范围内的输入电源电压下运行。降压转换器要求输入电压高于输出电压才能正常工作。最大占空比为 95%。

7.4 布局

7.4.1 布局指南

1. 为减少布线阻抗，VIN 和 GND 布线越宽越好。从散热的角度来看，宽阔的区域也是有利的。
2. 将输入电容器和输出电容器放置在尽可能靠近器件的位置，以尽可能减少布线阻抗。
3. 为输入电容器和输出电容器提供足够的通孔。
4. 从物理角度而言，SW 布线应尽可能短且宽，从而最大限度地减小辐射发射。
5. 不可使开关电流在器件下流过。
6. 将单独的 VOUT 路径连接到上部反馈电阻器。
7. 与反馈路径的 GND 引脚建立开尔文连接。

8. 电压反馈回路应放置在远离高压开关布线的位置，并确保具有接地屏蔽。
9. 为避免噪声耦合，FB 节点的布线应尽可能小。
10. 使输出电容器和 GND 引脚之间的 GND 布线尽可能宽，以尽可能减小布线阻抗。

7.4.2 布局示例

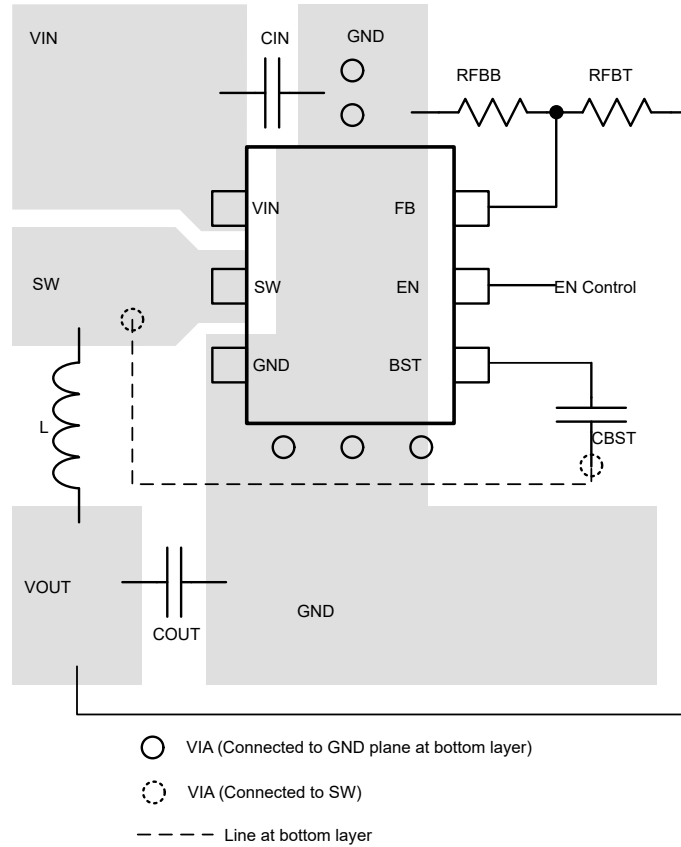


图 7-22. TPS563203 布局

8 器件和文档支持

8.1 器件支持

8.1.1 开发支持

8.1.1.1 使用 WEBENCH® 工具进行定制设计

[点击此处](#)，使用 TPS563203 器件并借助 WEBENCH® Power Designer 创建定制设计方案。

[点击此处](#)，使用 TPS563206 器件并借助 WEBENCH® Power Designer 创建定制设计方案。

1. 首先键入输入电压 (V_{IN})、输出电压 (V_{OUT}) 和输出电流 (I_{OUT}) 要求。
2. 使用优化器表盘优化该设计的关键参数，如效率、占用空间和成本。
3. 将生成的设计与德州仪器 (TI) 其他可行的解决方案进行比较。

WEBENCH Power Designer 提供了定制原理图，并罗列了实时价格和元件供货情况的物料清单。

在多数情况下，可执行以下操作：

- 运行电气仿真，观察重要波形以及电路性能
- 运行热性能仿真，了解电路板热性能
- 将定制原理图和布局方案以常用 CAD 格式导出
- 打印 PDF 格式的设计报告并与同事共享

有关 WEBENCH 工具的详细信息，请访问 www.ti.com/WEBENCH。

8.2 接收文档更新通知

要接收文档更新通知，请导航至 ti.com 上的器件产品文件夹。点击 [通知](#) 进行注册，即可每周接收产品信息更改摘要。有关更改的详细信息，请查看任何已修订文档中包含的修订历史记录。

8.3 支持资源

[TI E2E™ 中文支持论坛](#) 是工程师的重要参考资料，可直接从专家处获得快速、经过验证的解答和设计帮助。搜索现有解答或提出自己的问题，获得所需的快速设计帮助。

链接的内容由各个贡献者“按原样”提供。这些内容并不构成 TI 技术规范，并且不一定反映 TI 的观点；请参阅 TI 的 [使用条款](#)。

8.4 商标

D-CAP3™ and TI E2E™ are trademarks of Texas Instruments.

WEBENCH® is a registered trademark of Texas Instruments.

所有商标均为其各自所有者的财产。

8.5 静电放电警告



静电放电 (ESD) 会损坏这个集成电路。德州仪器 (TI) 建议通过适当的预防措施处理所有集成电路。如果不遵守正确的处理和安装程序，可能会损坏集成电路。

ESD 的损坏小至导致微小的性能降级，大至整个器件故障。精密的集成电路可能更容易受到损坏，这是因为非常细微的参数更改都可能会导致器件与其发布的规格不相符。

8.6 术语表

[TI 术语表](#) 本术语表列出并解释了术语、首字母缩略词和定义。

9 修订历史记录

Changes from Revision * (March 2023) to Revision A (January 2024)

Page

-
- 将文档状态从“预告信息”更改为“量产数据” 1
-

10 机械、封装和可订购信息

下述页面包含机械、封装和订购信息。这些信息是指定器件可用的最新数据。数据如有变更，恕不另行通知，且不会对此文档进行修订。有关此数据表的浏览器版本，请查阅左侧的导航栏。

PACKAGING INFORMATION

Orderable part number	Status (1)	Material type (2)	Package Pins	Package qty Carrier	RoHS (3)	Lead finish/ Ball material (4)	MSL rating/ Peak reflow (5)	Op temp (°C)	Part marking (6)
TPS563203DRLR	Active	Production	SOT-5X3 (DRL) 6	4000 LARGE T&R	Yes	Call TI Sn	Level-1-260C-UNLIM	-40 to 125	T203
TPS563203DRLR.A	Active	Production	SOT-5X3 (DRL) 6	4000 LARGE T&R	Yes	SN	Level-1-260C-UNLIM	-40 to 125	T203
TPS563206DRLR	Active	Production	SOT-5X3 (DRL) 6	4000 LARGE T&R	Yes	Call TI Sn	Level-1-260C-UNLIM	-40 to 125	T206
TPS563206DRLR.A	Active	Production	SOT-5X3 (DRL) 6	4000 LARGE T&R	Yes	SN	Level-1-260C-UNLIM	-40 to 125	T206

(1) **Status:** For more details on status, see our [product life cycle](#).

(2) **Material type:** When designated, preproduction parts are prototypes/experimental devices, and are not yet approved or released for full production. Testing and final process, including without limitation quality assurance, reliability performance testing, and/or process qualification, may not yet be complete, and this item is subject to further changes or possible discontinuation. If available for ordering, purchases will be subject to an additional waiver at checkout, and are intended for early internal evaluation purposes only. These items are sold without warranties of any kind.

(3) **RoHS values:** Yes, No, RoHS Exempt. See the [TI RoHS Statement](#) for additional information and value definition.

(4) **Lead finish/Ball material:** Parts may have multiple material finish options. Finish options are separated by a vertical ruled line. Lead finish/Ball material values may wrap to two lines if the finish value exceeds the maximum column width.

(5) **MSL rating/Peak reflow:** The moisture sensitivity level ratings and peak solder (reflow) temperatures. In the event that a part has multiple moisture sensitivity ratings, only the lowest level per JEDEC standards is shown. Refer to the shipping label for the actual reflow temperature that will be used to mount the part to the printed circuit board.

(6) **Part marking:** There may be an additional marking, which relates to the logo, the lot trace code information, or the environmental category of the part.

Multiple part markings will be inside parentheses. Only one part marking contained in parentheses and separated by a "~" will appear on a part. If a line is indented then it is a continuation of the previous line and the two combined represent the entire part marking for that device.

Important Information and Disclaimer: The information provided on this page represents TI's knowledge and belief as of the date that it is provided. TI bases its knowledge and belief on information provided by third parties, and makes no representation or warranty as to the accuracy of such information. Efforts are underway to better integrate information from third parties. TI has taken and continues to take reasonable steps to provide representative and accurate information but may not have conducted destructive testing or chemical analysis on incoming materials and chemicals. TI and TI suppliers consider certain information to be proprietary, and thus CAS numbers and other limited information may not be available for release.

In no event shall TI's liability arising out of such information exceed the total purchase price of the TI part(s) at issue in this document sold by TI to Customer on an annual basis.

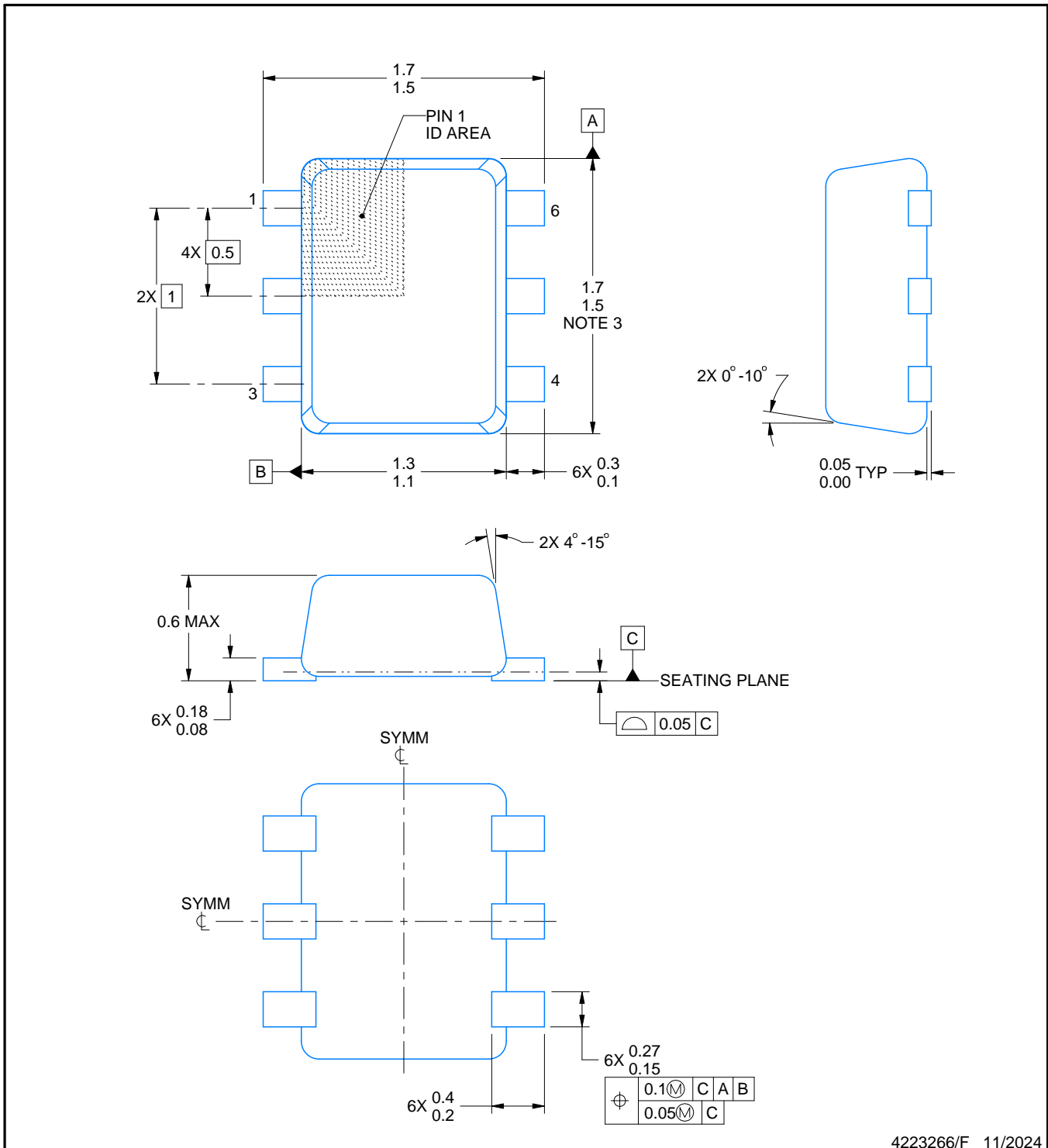
DRL0006A



PACKAGE OUTLINE

SOT - 0.6 mm max height

PLASTIC SMALL OUTLINE



4223266/F 11/2024

NOTES:

1. All linear dimensions are in millimeters. Any dimensions in parenthesis are for reference only. Dimensioning and tolerancing per ASME Y14.5M.
2. This drawing is subject to change without notice.
3. This dimension does not include mold flash, protrusions, or gate burrs. Mold flash, protrusions, or gate burrs shall not exceed 0.15 mm per side.
4. Reference JEDEC registration MO-293 Variation UAAD

EXAMPLE BOARD LAYOUT

DRL0006A

SOT - 0.6 mm max height

PLASTIC SMALL OUTLINE



LAND PATTERN EXAMPLE
SCALE:30X



SOLDERMASK DETAILS

4223266/F 11/2024

NOTES: (continued)

5. Publication IPC-7351 may have alternate designs.
6. Solder mask tolerances between and around signal pads can vary based on board fabrication site.
7. Land pattern design aligns to IPC-610, Bottom Termination Component (BTC) solder joint inspection criteria.

EXAMPLE STENCIL DESIGN

DRL0006A

SOT - 0.6 mm max height

PLASTIC SMALL OUTLINE



SOLDER PASTE EXAMPLE
BASED ON 0.1 mm THICK STENCIL
SCALE:30X

4223266/F 11/2024

NOTES: (continued)

8. Laser cutting apertures with trapezoidal walls and rounded corners may offer better paste release. IPC-7525 may have alternate design recommendations.
9. Board assembly site may have different recommendations for stencil design.

重要通知和免责声明

TI“按原样”提供技术和可靠性数据（包括数据表）、设计资源（包括参考设计）、应用或其他设计建议、网络工具、安全信息和其他资源，不保证没有瑕疵且不做任何明示或暗示的担保，包括但不限于对适销性、与某特定用途的适用性或不侵犯任何第三方知识产权的暗示担保。

这些资源可供使用 TI 产品进行设计的熟练开发人员使用。您将自行承担以下全部责任：(1) 针对您的应用选择合适的 TI 产品，(2) 设计、验证并测试您的应用，(3) 确保您的应用满足相应标准以及任何其他安全、安保法规或其他要求。

这些资源如有变更，恕不另行通知。TI 授权您仅可将这些资源用于研发本资源所述的 TI 产品的相关应用。严禁以其他方式对这些资源进行复制或展示。您无权使用任何其他 TI 知识产权或任何第三方知识产权。对于因您对这些资源的使用而对 TI 及其代表造成的任何索赔、损害、成本、损失和债务，您将全额赔偿，TI 对此概不负责。

TI 提供的产品受 [TI 销售条款](#)、[TI 通用质量指南](#) 或 [ti.com](#) 上其他适用条款或 TI 产品随附的其他适用条款的约束。TI 提供这些资源并不会扩展或以其他方式更改 TI 针对 TI 产品发布的适用的担保或担保免责声明。除非德州仪器 (TI) 明确将某产品指定为定制产品或客户特定产品，否则其产品均为按确定价格收入目录的标准通用器件。

TI 反对并拒绝您可能提出的任何其他或不同的条款。

版权所有 © 2026，德州仪器 (TI) 公司

最后更新日期：2025 年 10 月